

## บทที่ 2

### หลักการและทฤษฎี

#### 2.1 ห้องความดัน (Pressure Conduit)

##### 2.1.1 นิยามห้องความดัน

ห้องความดัน คือ ห้องที่มีการไหลเดินพื้นที่หน้าตัดท่อและอยู่ภายใต้ความดัน การส่งน้ำด้วยห้องความดันจะประหัตค่าใช้จ่ายได้มากกว่าการส่งน้ำผ่านคลองหรือร่องน้ำ เพราะสามารถวางแผนห้องไว้ได้ในระบบทางที่ลึกกว่า ซึ่งในบางที่หนาไปด้วย การใช้ระบบห้องความดันจะช่วยป้องกันการสูญเสียน้ำนั่นจากการรั่วซึมและการระเหย ซึ่งมักจะเกิดขึ้นบนทางน้ำเป็นคราว นอกจากห้องความดันข้างๆ ที่ส่วนใหญ่ใช้สำหรับและช่วยลดโอกาสที่จะเกิดมลพิษ (Pollution) ด้วย

##### 2.1.2 การแบ่งชนิดการไหลในห้อง (Classifying the flow in a pipe)

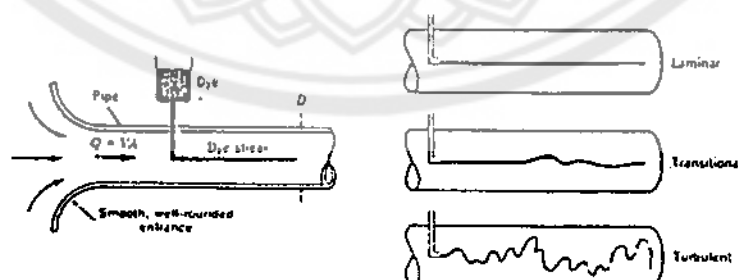
การไหลในห้องสามารถแบ่งได้หลายลักษณะคือ

###### 2.1.2.1 การแบ่งชนิดการไหลในห้องตามเวลา สามารถแบ่งได้ 2 ชนิดคือ

- การไหลคงที่ (Steady flow) คือการไหลในห้องด้วยอัตราการไหลและความเร็วที่ไม่เปลี่ยนแปลงตามเวลา เช่น การไหลในห้องอ่างเก็บน้ำที่มีระดับน้ำคงที่ หรือการไหลในห้องประปาที่มีความดันที่จุดต่อจากห้องลักษณะที่ เป็นดัง

- การไหลไม่คงที่ (Unsteady flow) คือการไหลในห้องด้วยอัตราการไหลและความเร็วเปลี่ยนแปลงตามเวลา เช่น การไหลในห้องอ่างเก็บน้ำที่มีระดับน้ำเปลี่ยนแปลงตามเวลา การไหลในห้องเมื่อเริ่มเปิดเครื่องสูบน้ำ และการปิดเปิดประตูน้ำ เป็นต้น

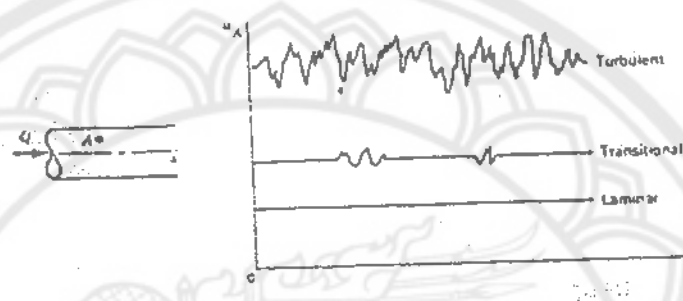
###### 2.1.2.2 การแบ่งชนิดของ การไหลในห้องตามพฤติกรรมการไหลของน้ำ สามารถแบ่งได้จากการสังเกตเส้นแนวการไหล (Stream line) ได้ 3 ชนิดคือการไหลราบรื่น (laminar flow) การไหลเปลี่ยนแปลง (transition flow) และการไหลปั่นป่วน(turbulent flow) ดังรูปที่ 2-1



ที่มา: กีรติ ลีวนกุล,[2]

รูปที่ 2-1 เครื่องมือและแนวเส้นที่แบ่งชนิดการไหลในห้อง

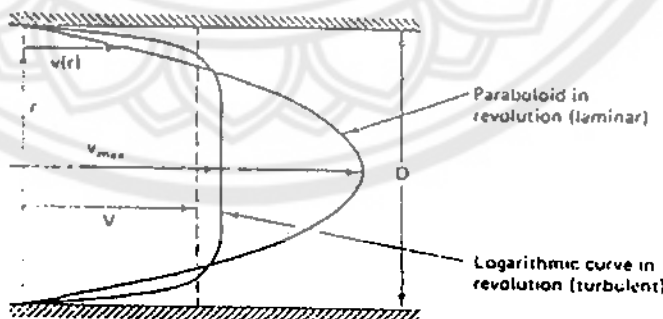
จากผลการทดลองจะเห็นได้ว่า การไหลแบบรูปเรียบจะเห็นแนวเส้นสีที่แสดงถึงการไหล มีลักษณะรูปเรียบเป็นเส้นตรง มีความเร็วการไหลในท่อช้า ลักษณะเรียบง่าย สำหรับการไหล เปลี่ยนแปลงจะเริ่มเห็นแนวเส้นสีกระเพี้อมเล็กน้อย และเมื่อกระแสน้ำมีความเร็วมากๆ กระแสน้ำ จะหมุนกว้างปั่นป่วน เรียกการไหลแบบปั่นป่วน ซึ่งเมื่อพิจารณาความเร็วที่จุด A (จุด A) ของการ ไหลในท่อ สามารถเขียนกราฟความสัมพันธ์ระหว่างความเร็วที่จุด A คือ  $\mu_A$  กับเวลาของการไหล ในท่อทั้ง 3 ชนิด ดังรูปที่ 2-2



ที่มา: กีรติ สิริวงศ์กุล,[2]

รูปที่ 2-2 ความสัมพันธ์ระหว่างความเร็วที่จุด A คือ  $\mu_A$  กับเวลาของการไหลในท่อทั้ง 3 ชนิด

เมื่อมีการวัดความเร็วของการไหลในท่อกรณีที่จุดห่างๆ ออกหน้าตัดการไหลพบว่า ความเร็วจะมากขึ้นจากผนังท่อไปยังกึ่งกลางท่อ ทั้งนี้เนื่องจากที่บริเวณใกล้ผนัง กับผนังท่อจะมีแรงต้านแรงต้านน้ำกับผนังท่อนาก และบริเวณกึ่งกลางท่อ น้ำจะสามารถไหลผ่านได้สะดวกที่สุด จึงทำให้ความเร็วในกึ่งกลางท่อนีความเร็วสูง ( $V_{MAX}$ ) ดังจะเห็นได้ว่าการกระจายความเร็วของการไหล ในท่อกรณีการไหลแบบเรียบและการไหลแบบปั่นป่วน ดังรูปที่ 2-3



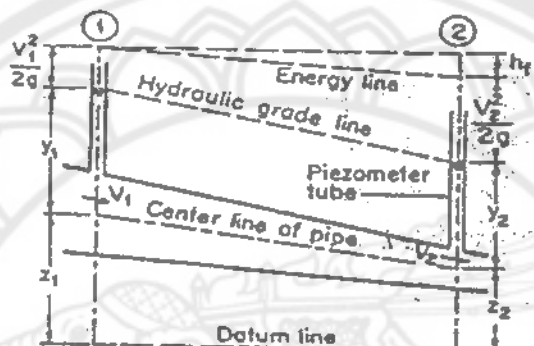
ที่มา: กีรติ สิริวงศ์กุล,[2]

รูปที่ 2-3 การกระจายความเร็วของการไหลในท่อกรณีการไหลแบบเรียบและการไหลแบบปั่น ป่วน

จากูปที่ 2-3 จะเห็นได้ว่า ในกรณีการไหลแบบรานเรื้อน จะมีลักษณะการกระจายความเรื้อนในท่อคือเป็นรูปทรงพาราโบโลห์ด (Paraboloid) คล้ายๆกับรูปปีกไก่ตัดครึ่ง ส่วนการไหลแบบปั่นป่วน จะมีลักษณะการกระจายความเรื้อนเป็นรูปทรงโค้งล็อก (logarithmic curve) เพราะกระแสน้ำมีความปั่นป่วนอย่างไรก็ตามความเรื้อนที่จะนำมาใช้เป็นตัวแทนในการคำนวณการไหลในท่อที่ใช้ในงานวิศวกรรมชลศาสตร์ จะใช้ความเรื้อนเฉลี่ยเป็นหลัก

### 2.1.3 ข้อหาสตร์การไหลคงที่ในท่อ (hydraulics of steady flow in closed conduits)

พิจารณาการไหลในท่อดังรูปที่ 2-4



ที่มา: กีรติ ลีวนุกูล,[2]

รูปที่ 2-4 การไหลในท่อ

สมการที่ใช้ในการวิเคราะห์การไหลคงที่ประกอบด้วย

#### 2.1.3.1 สมการการไหลต่อเนื่อง (continuous equation)

"อัตราการไหลผ่านหน้าตัด 1 เท่ากับอัตราการไหลผ่านหน้าตัด 2"

อัตราการไหล

$$Q = A_1 V_1 = A_2 V_2 \quad 2-1$$

เมื่อ  $A_1$  และ  $A_2$  คือ พื้นที่หน้าตัด 1 และ พื้นที่หน้าตัด 2 ตามลำดับ

$V_1$  และ  $V_2$  คือ ความเรื้อนเฉลี่ยของการไหลผ่านหน้าตัด 1 และ หน้าตัด 2 ตามลำดับ

#### 2.1.3.2 สมการพลังงาน (energy equation)

พลังงานหลักของการไหลในท่อ มี 3 ส่วนหลักคือ

- พลังงานศักย์ (potential energy) คือพลังงานที่เก็บจากความสูงของท่อตั้งระดับอ้างอิง (datum line) เช่นที่หน้าตัด 1 มีพลังงานศักย์คือ  $Z_1$  และ ที่หน้าตัดที่ 2 มีพลังงานศักย์คือ  $Z_2$

- พลังงานความดัน (pressure energy) คือพลังงานเนื่องจากความดันของการไหลในท่อ ในทางชลศาสตร์จะเทียบกับจุดกึ่งกลางท่อ เช่น เมื่อมีการไหลในท่อแล้วพบว่าที่จุดกึ่งกลางหน้าตัด 1 ของท่อมีความดันเท่ากับ  $P_1$  โดยของไหลมีน้ำหนักจำเพาะ  $\gamma$  ถ้าใช้หลอดแก้วใส

(piezometer tube) ปืนน้ำท่อจะพบว่าระดับของของไอลจะสูงขึ้นเท่ากับ  $y_1$  และคงไว้ที่จุดถัดกันหน้าตัว 1 มีความดัน  $P_1 = y_1 \gamma$  หรือมีอคิดเป็นความสูงของไอลได้  $y_1 = P_1 / \gamma$  ในท่านองเดียวกันที่หน้าตัว 2 จะมี  $P_2 = y_2 \gamma$  หรือ  $y_2 = P_2 / \gamma$

- พลังงานจลน์ (kinetic energy) คือพลังงานนี่ของจากการไอลของน้ำในท่อ เช่นที่หน้าตัว 1 มีความเร็วเฉลี่ย  $V_1$  จะมีพลังงานจลน์เท่ากับ  $V_1^2 / 2g$  และที่หน้าตัว 2 มีความเร็วเฉลี่ย  $V_2$  จะมีพลังงานจลน์เท่ากับ  $V_2^2 / 2g$

เนื่องจากการไอลในท่อ จะมีการสูญเสียพลังงานในท่อเริ่กว่า การสูญเสียหลัก(major loss,  $h_f$ )เป็นการสูญเสียพลังงานเนื่องจาก

1. แรงตึงหานระหว่างกบของไอลกับผนังท่อ
2. การไอลที่ต้องอาศัยความหนืดหรือที่เรียกว่าการกระชาดความหนืดเนื่องจากการไอลในท่อ

จากรูปที่ 2-4 สามารถเขียนสมการพลังงานระหว่างหน้าตัวที่ 1 และหน้าตัวที่ 2 ได้

$$\frac{P_1}{\gamma} + \frac{V_1^2}{2g} + Z_1 = \frac{P_2}{\gamma} + \frac{V_2^2}{2g} + Z_2 + h_f \quad 2-2$$

แต่ละเทอมในสมการที่ 2-2 ต่างกันหน่วยเป็น  $\text{N-lb}$  ของพลังงานต่อ  $\text{lb}$  ของการไอลของไอลหรือ  $\text{ft}$  (ในระบบหน่วยอังกฤษ) และมีหน่วยเป็น  $\text{N-m}$  ของพลังงานต่อ  $\text{N}$  ของการไอลของไอลหรือ  $\text{m}$  (ในหน่วย SI)

### 2.1.3.3 หลักการแรงดล-โนเมนตัม

หมายได้โดยใช้กฎการเคลื่อนที่ข้อที่สองของนิวตัน การไอลของไอลอาจเป็นแบบ steady หรือ unsteady flow, ของไอลอาจเป็นแบบอัดตัวได้ หรืออัดตัวไม่ได้, อาจเป็นของไอลจริงหรือของไอลอุดมคติก็ได้. ในการพิจารณาเกี่ยวกับโนเมนตัมจะไม่พิจารณาถึงการสูญเสียต่าง ๆ ที่เกิดขึ้นเมื่อของไอลเคลื่อนที่

กฎข้อที่สองของนิวตัน เขียนเป็นสมการได้ว่า

$$\bar{F} = m\ddot{a} \quad 2-3$$

หรือ

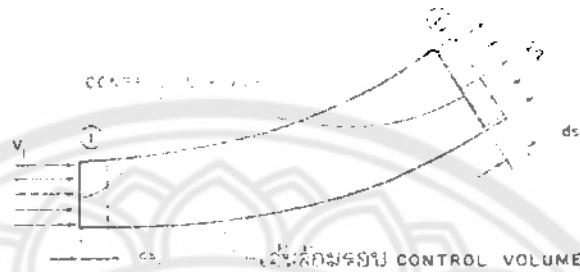
$$\sum \bar{F} = \frac{d(m\bar{V})}{dt} \quad 2-4$$

ซึ่งมีความหมายว่า, รวมของแรงภายนอกที่กระทำกับวัตถุมีค่าเท่ากับอัตราการเปลี่ยนแปลงโนเมนตัมของวัตถุ

เนื่องจาก  $\bar{F}$  และ  $\bar{V}$  เป็นปริมาณเวกเตอร์ดังนั้นการเปลี่ยนแปลงโนเมนตัมจะเกิดขึ้นในทิศทางเดียวกันกับที่แรงกระทำ. สมการ 2-4 อาจเขียนได้ใหม่เป็น

$$\sum \bar{F}(dt) = d(m\bar{V}) \quad 2-5$$

ซึ่งมีความหมายว่า แรงดันมีค่าเท่ากับการเปลี่ยนแปลงโนแมนตัน อันเป็นหลักการแรงดัน-โนแมนตัน ต่อไปจะใช้สมการ 2-4 กับวัสดุซึ่งมีมวลอยู่ใน control volume ดังรูป 2-5 ในที่นี้ถือว่า control volume มีตำแหน่งแน่นอน, ไม่มีการเคลื่อนที่, ไม่เปลี่ยนแปลงรูปร่าง หรือขนาด



ที่มา: ชาญ ณัคจัน,[4]

รูปที่ 2-5 ของไอลใน control volume

พิจารณาของไอลใน control volume ดังรูป 2.5 เพื่อความสะดวกในการวิเคราะห์มักเลือกให้ control surface ตั้งฉากกับทิศทางของความเร็วดังรูป สมมติว่าความเร็วของไอลมีค่าคงที่ ตลอดทั้ง control surface เมื่อเวลา  $t$  ของไอลบรรจุอยู่เพียง control volume ระหว่างหน้าตัด 1 กับ 2 เมื่อเวลาผ่านไป  $dt$  ของไอลเคลื่อนที่ไปอยู่ที่ตำแหน่งใหม่ สมมติว่าที่หน้าตัด 1 เคลื่อนที่ไป  $ds_1$  และที่หน้าตัด 2 เคลื่อนที่ไป  $ds_2$  พิจารณาเฉพาะกรณีที่ของไอลเคลื่อนที่แบบ steady flow

โนแมนตันที่ผ่าน control surface ที่หน้าตัด 1 ในช่วงเวลา  $dt$  คือ  $(\rho_1 A_1 ds_1) V_1$

โนแมนตันที่ผ่าน control surface ที่หน้าตัด 2 ในช่วงเวลา  $dt$  คือ  $(\rho_2 A_2 ds_2) V_2$

จากสมการ 2.4 เปลี่ยนสมการใหม่ได้เป็น

$$\begin{aligned} \sum \vec{F} &= \frac{d(mV)}{dt} \text{ ออก} - \frac{d(mV)}{dt} \text{ เข้า} \\ &= \frac{1}{dt} (\rho_2 A_2 ds_2) \vec{V}_2 - \frac{1}{dt} (\rho_1 A_1 ds_1) \vec{V}_1 \end{aligned} \quad 2-6$$

แต่เนื่องจาก  $V = ds/dt$  และ  $Q = AV$  ดังนั้น

$$\sum \vec{F} = \rho_2 Q_2 \vec{V}_2 - \rho_1 Q_1 \vec{V}_1 \quad 2-7$$

จากสมการความต่อเนื่องและของไอลเคลื่อนที่แบบ steady flow

$$\rho Q = \rho_1 Q_1 = \rho_2 Q_2 \quad 2-8$$

ดังนั้น

$$\sum \vec{F} = \rho Q (\vec{V}_2 - \vec{V}_1) = \rho Q (\Delta \vec{V}) \quad 2-9$$

ทิศทางของ  $\sum \vec{F}$  จะอยู่ในทิศทางเดียวกับ  $\Delta \vec{V}$

### 2.1.3.4 แรงนท่อความดัน

พิจารณากรณีที่ของไอลเคลื่อนที่ผ่านท่อสดในแนวระดับดังรูปที่ 2-6(ก) ซึ่งสามารถเขียน free body diagram ของมวลของไอล แสดงแรงที่กระทำกับมวลของไอลได้ดังรูปที่ 2-6(ก)



รูปที่ 2-6 ของไอลที่ผ่านท่อสด

ใช้สมการ  $\Sigma F_x = \rho_2 Q_2 V_{2x} - \rho_1 Q_1 V_{1x} = \rho Q (\Delta V_x)$  กับมวลของไอลเพื่อหาแรงที่กระทำกับมวลของไอลในแนวแกน X จะได้ว่า

$$\Sigma F_x = P_1 A_1 - P_2 A_2 - (F_{R/F})_x = \rho Q (V_2 - V_1) \quad 2-10$$

พิจารณาในแนวแกน Y ไม่มีแรงอื่นใดกระทำกับท่อสด นอกจากน้ำหนักของของไอลในท่อสดดังนั้นแรงในแนวแกน Y จึงมีค่าเท่ากับน้ำหนักของของไอลในท่อสด

### 2.1.4 การสูญเสียร่องในระบบท่อ(minor losses in pipeline)

การสูญเสียร่องในระบบที่เป็นการสูญเสียพลังงานที่เกิดจากการเปลี่ยนแปลงขนาดท่อการไอลผ่านข้อต่อ ข้องอ ประตุน้ำ และการเชื่อมต่อท่อ เป็นต้น ซึ่งจะทำให้แนวการไอลที่การเปลี่ยนแปลง ถ้าเป็นแนวท่อยาวก็อาจจะไม่คิดผลของการสูญเสียร่อง เพราะมีค่าน้อยมากเมื่อเทียบกับการสูญเสียหลัก ถ้าเป็นท่อสั้น การสูญเสียร่องจะมีผลมากขึ้น และเป็นสิ่งจำเป็นที่จะต้องพิจารณาประกอบการวิเคราะห์ระบบท่อคัวห ซึ่งการสูญเสียร่องจะมีค่านากเมื่อความเร็วของกระแสน้ำมากขึ้น เพราะจะทำให้เกิดการไหลวน(eddies)ที่ทำเกิดการแยกตัวของไอลออกจากขอบเขตของท่อ

การสูญเสียร่องมักจะมีความสัมพันธ์กับหัวความเร็ว(velocity head)โดยคิกเป็นจำนวนเท่าของหัวความเร็ว ดังสมการ

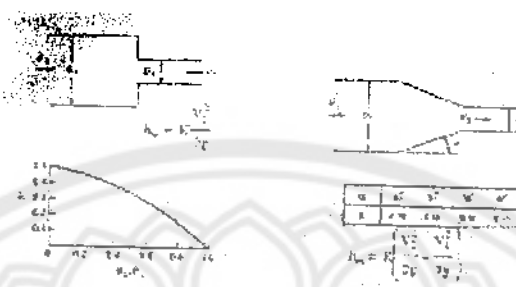
$$h_m = K \frac{V^2}{2g} \quad 2-11$$

หรือ

$$h_m = K \frac{(V_1 - V_2)^2}{2g} \quad 2-12$$

$$h_m = K \left[ \frac{V_1^2}{2g} - \frac{V_2^2}{2g} \right] \quad 2-13$$

โดยที่  $K$  คือสัมประสิทธิ์การสูญเสียร่อง(minor losses coefficient) ขึ้นอยู่กับชนิด รูปร่าง ลักษณะ วัสดุ และขนาดของอุปกรณ์ที่อยู่ในร่อง โดยมีค่า  $K$  ที่บันทึกไว้ในตารางที่ 2-7 และค่า  $K$  ของ การไหลออกจากห้องดังตารางที่ 2-1



ที่มา: กีรติ สิริวนกุล,[2]

รูปที่ 2-7 ค่า  $K$  บริเวณรอยต่อของห้องดัดขนาด

ตารางที่ 2-1 ค่า  $K$  ของการไหลออกจากห้อง

ชนิดห้องที่ต้องดูแล	ลักษณะ	ค่า $K$ เมื่อ $R_h = 1.5 \frac{D}{2}$
1. ห้องที่ต้องดูแลเป็นไป ตามมาตรฐาน DIN 1054		
2. ห้องที่ต้องดูแลเป็นไป ตามมาตรฐาน DIN 1054		$K = 1$

ที่มา: กีรติ สิริวนกุล,[2]

ในการผึ่งของการเปลี่ยนแปลงภาคตัด โดยการใช้ทรงกรวยตัดต่อระหว่างภาคตัดทั้ง 2 ใน การหากการสูญเสียพลังงานของการขยายภาคตัดพบว่าค่าสัมประสิทธิ์ของการสูญเสีย นอกเหนือ ขึ้นอยู่กับมุมของทรงกรวยแล้วยังขึ้นอยู่กับอัตราส่วนของพื้นที่ของห้องท่อที่ต่อกันด้วย เป็นที่สังเกตว่า

- ค่านุนทรงกรวยที่ดีที่สุดคือ ประมาณ 7 ซึ่งค่าสัมประสิทธิ์ต่ำสุด
- ถ้าค่านุนทรงกรวยอยู่ประมาณ 60 การสูญเสียของพลังงานจะสูงกว่าการขยายภาคตัด อ่ำงตืบพื้น

ในการครองกันข้ามการใช้ทรงกรวยขนาดสั้น หรือการตัดแบ่งทรงกรวยให้เป็นรูปแทรีวา ในการต่อห้องการสูญเสียพลังงานมีน้อยมากจนคิดไม่ได้